



استفاده از ویژگی‌های کانی‌شناسی و ژئوشیمیایی گرانیت‌تؤیدهای منطقه‌ی بروجرد و آستانه (زون سندنج - سیرجان) در شناسایی عمق تقریبی و شکل‌گیری‌های ماقمای خاستگاه این سنگ‌ها

زهراء طهماسبی^{*}، احمد احمدی خلجمی^۱

۱- دانشگاه لرستان، دانشکده فنی و مهندسی، گروه معدن

۲- دانشگاه لرستان، دانشکده علوم، گروه زمین‌شناسی

(دریافت مقاله: ۸۸/۱۱/۵ ، نسخه نهایی: ۸۹/۳/۳۰)

چکیده: مناطق مورد بررسی در جنوب و جنوب غربی شهرستان اراک واقع شده و بخشی از زون ساختاری سندنج - سیرجان محسوب می‌شوند. سنگ‌های نفوذی موجود در مناطق آستانه و بروجرد شامل کوارتزدیوریت، گرانووددیوریت و مونزوگرانیت‌اند. در منطقه‌ی آستانه علاوه بر سنگ‌های نفوذی نامبرده، سنگ‌های شبه آتش‌فشاری با ترکیب ریوداسیتی وجود دارند. مجموعه کانی‌های این واحدهای سنگ‌شناسی در این مناطق به‌طور کلی مشابه‌اند. کانی‌های آمفیبول، بیوتیت، پلازیوکلاز، ارتوکلاز و کوارتز کانی‌های معمول در دو منطقه‌اند که تفاوت هر مجموعه در میزان کانی‌های صحرایی، سنگ‌نگاری و ویژگی‌های ژئوشیمیایی مناطق مورد بررسی نشان می‌دهد که ماقمای مادر هر دو دارای ترکیب کلسیمی - قلیایی با پتانسیم متوسط تا بالا و حاصل تغییر است. نزدیکی مکانی، زمانی و مشابه بودن ویژگی‌های ژئوشیمیایی و ایزوتوبی سنگ‌های هر دو منطقه‌ی مورد بررسی حاکی از رابطه‌ی ژنتیکی و خویشاوندی سنگ‌های آن‌ها و در نهایت خاستگاه یکسان آن‌هاست. محتمل‌ترین خاستگاه ماقمای مادر سنگ‌های گرانیت‌تؤیدی هر دو منطقه، ذوب پوسته‌ی تحتانی با ترکیب آمفیبولیت همراه با متاپلیت‌های منطقه‌ی خاستگاه است که باعث تشکیل این توده‌ها در بروجرد با مقیاس گسترده‌تر و با حجم کمتر از منطقه‌ی آستانه شده است.

واژه‌های کلیدی: آستانه، بروجرد، سنگ‌شناسی، متاالومین، کلسیمی-قلیایی، ایزوتوبی

پترولوزی و تکتونیک چهارگوش خرم‌آباد» انجام گرفته است و [۲] در سال ۱۳۶۶ بخش جنوبی این مناطق را در قالب پایان‌نامه‌ی کارشناسی ارشد تحت عنوان «بررسی‌های زمین‌شناسی و پترولوزی سنگ‌های گرانیت‌تؤیدی ناحیه‌ی آستانه - گوشه» مورد بررسی قرار داده است. همچنین [۳] در رساله‌ی دکتری خود مسئله دگرگونی مجاورتی و ایجاد پگماتیت‌های این مناطق را مورد بررسی قرار داده است. [۴،۵] در پایان‌نامه کارشناسی ارشد و رساله‌ی دکتری خود به بررسی زمین‌گاه شماری، سنگ‌شناسی و بافت‌شناسی توده‌های نفوذی

مناطق مورد بررسی با عرض‌های جغرافیایی $۳۴^{\circ} ۳۳^{\circ}$ تا $۳۸^{\circ} ۳۰^{\circ}$ شمالی و طول‌های جغرافیایی $۴۹^{\circ} ۴۸^{\circ}$ تا $۵۰^{\circ} ۴۵^{\circ}$ شرقی محدود شده‌اند (شکل ۱). این مناطق زون‌های دگرگونی را در شمال و زاگرس خرد شده را در جنوب به خود اختصاص داده‌اند و در آن توده‌های گرانیت‌تؤیدی بروجرد و آستانه رخمنون دارند.

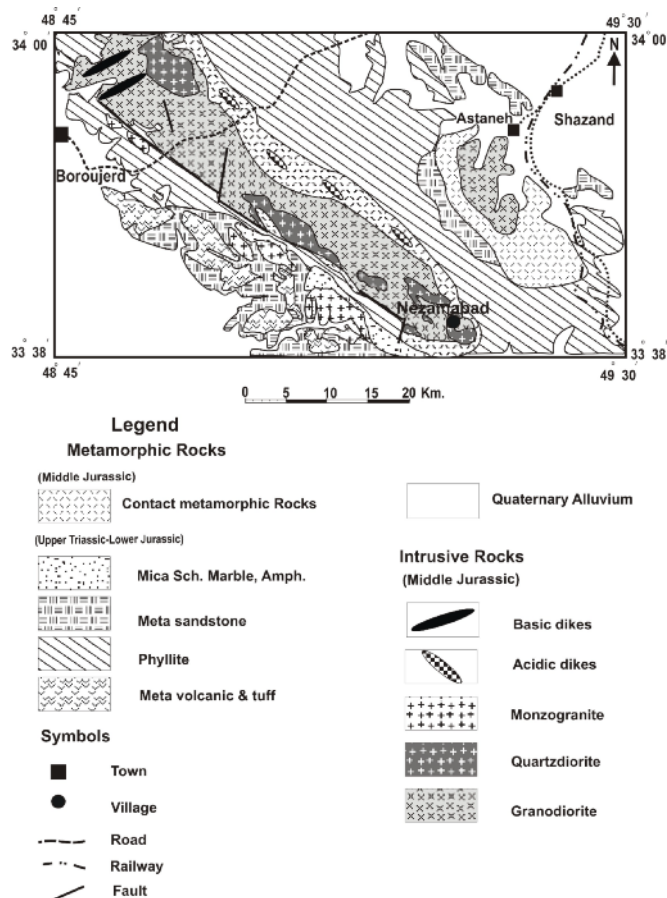
اولین بررسی‌های سیستماتیک و کامل در این مناطق توسط [۱] در قالب رساله‌ی دکتری تحت عنوان «چینه‌شناسی،

مرمرهای نازک تا ضخیم لایه‌اند [۲]، و جدیدترین نهشته‌های آن‌ها، آبرفت‌های عهد حاضر است. در این مناطق، مجموعه‌ی دگرگونی ناحیه‌ای با طیفی از شرایط رخساره‌ی شیست سبز تا آمفیبولیت دیده می‌شود که در طی نفوذ توده‌های گرانیتوئیدی در راستای سطح شیستوزیته آن‌ها یک مجموعه‌ی دگرگون مجاورتی (هورنفلس) حاصل شده است [۳-۶]. گرچه [۳، ۷] معتقدند که اولین فعالیت نفوذی در منطقه‌ی بروجرد در زمان کرتاسه زیرین (حدود ۱۲۰ Ma) رخ داده است و توده‌ی نفوذی آستانه در زمان آلبین و در ادامه‌ی آن سری دیگری از گرانیت‌های بروجرد در کرتاسه پایانی-پالئوسن آغازین (Ma ۵۲-۷۰) طی حرکت‌های زمین‌ساختی آپ (لامید-کرتاسه فوقانی) تشکیل شده‌اند، ولی تعیین سن‌های انجام گرفته به روش U-Pb روی کانی زیرکن و احدهای مختلف این توده‌ها، سن یکسان ۱۷۵-۱۷۱ Ma (ژوراسیک میانی) را نشان می‌دهند که حاکی از تشکیل آن‌ها به سبب فعالیت فاز کوه‌زایی سیمیرین میانی است [۶، ۸ و ۹].

و دگرگونی مجاورتی منطقه‌ی بروجرد پرداخته است. [۶] نیز در پایان نامه‌ی دکتری خود ویژگی‌های سنگ‌ساختی سنگ‌های آذربین آستانه را مورد بررسی قرار داده است. با این حال با توجه به اینکه هنوز مسئله سنگ‌ساختی و ژئوشیمیایی توده‌های گرانیتوئیدی بروجرد و آستانه و رابطه‌ی آن‌ها با هم در هاله‌ای از ابهام بوده و نظرهای متفاوتی در مورد نوع و خاستگاه این گرانیتوئیدها مطرح شده است [۳-۵]، لذا در این نوشتار سعی شده تا ویژگی‌های مختلف سنگ‌ساختی و ژئوشیمیایی توده‌های گرانیتوئیدی این مناطق مشخص و وجود رابطه‌ی یا عدم رابطه‌ی ماقمای مادر سنگ‌های این مناطق با یکدیگر بررسی شوند.

زمین‌شناسی عمومی

مناطق مورد بررسی در بخش شمال غربی نوار سنندج - سیرجان و در غرب و جنوب‌غربی شهرستان اراک قرار گرفته‌اند (شکل ۱). قدیمی‌ترین نهشته‌های موجود در این مناطق به تریاس وابسته بوده که در جنوب این مناطق رخمنون دارند و شامل سنگ‌های آتش‌شانی دگرگون شده با درون لایه‌هایی از



شکل ۱ نقشه‌ی زمین‌شناسی ساده شده‌ای از مناطق مورد بررسی [۵].

تعداد ۱۷ نمونه از واحدهای اصلی آن به روش‌های XRF و ICP-MS در دانشگاه هلوای اسپانیا، توسط مؤلف اول انجام گرفت (جدول‌های ۱ و ۲). برای آنالیز عناصر اصلی نخست پودر و سپس قرص تهیه شد. برای عناصر کمیاب با پس از اسیدشیوی با اسید نیتریک و اسید کلریدریک و مقایسه با استانداردهای خاص عناصر مورد نظر به دست آمدند.

روش کار و بررسی

پس از نمونه برداری از مناطق مورد بررسی و تهیه‌ی مقاطع نازک از این نمونه‌ها، به منظور بررسی ویژگی‌های زئوشیمیایی توده‌ی گرانیت‌وئیدی بروجرد، تعداد ۱۵ نمونه از واحدهای اصلی آن به روش ICP-MS و ICP-AES در آزمایشگاه ALSChemex کانادا آنالیز شیمیایی شدند (داده‌ها از [۶،۵]) و برای آنالیز عناصر اصلی و کمیاب توده‌ی گرانیت‌وئیدی آستانه،

جدول ۱ آنالیز عناصر اصلی و کمیاب سنتگ‌های آذرین منطقه آستانه.

| samples | کوارتزدیبوریت | | | گرانات‌دیبوریت | | | مونزون‌گرانات | | | ریودادیت | | |
|----------------------------------|---------------|--------|--------|----------------|--------|--------|---------------|-------|--------|----------|--------|--|
| | 24 | 28 | As5 | Ch1 | K2 | Sa14 | Sa2 | CSa15 | 33 | 38 | As15 | |
| SiO ₂ | ۶۱,۵ | ۶۱,۷ | ۶۲ | ۶۴,۵ | ۶۳,۶ | ۶۳,۳ | ۶۹,۲ | ۷۰,۱ | ۶۷,۷ | ۶۷,۲ | ۶۷,۸ | |
| TiO ₂ | ۰,۵ | ۰,۶ | ۰,۵ | ۰,۵ | ۰,۵ | ۰,۶ | ۰,۳ | ۰,۳ | ۰,۴ | ۰,۴ | ۰,۴ | |
| Al ₂ O ₃ | ۱۶,۴ | ۱۶,۶ | ۱۶,۶ | ۱۵,۹ | ۱۶ | ۱۶ | ۱۵,۱ | ۱۴,۷ | ۱۶,۵ | ۱۶,۴ | ۱۶,۲ | |
| Fe ₂ O ₃ T | ۶,۷ | ۶,۹ | ۶,۱ | ۶,۱ | ۶,۱ | ۶,۳ | ۳,۶ | ۳,۶ | ۳,۱ | ۳,۲ | ۳ | |
| FeO | ۶,۱ | ۶,۲ | ۵,۵ | ۵,۵ | ۵,۶ | ۵,۸ | ۳,۳ | ۳,۳ | ۲,۸ | ۲,۹ | ۲,۸ | |
| MgO | ۳,۵ | ۳,۴ | ۲,۹ | ۲,۸ | ۲,۹ | ۲,۹ | ۱,۴ | ۱,۴ | ۱,۶ | ۱,۶ | ۱,۵ | |
| MnO | ۰,۱ | ۰,۱ | ۰,۱ | ۰,۱ | ۰,۱ | ۰,۱ | ۰,۱ | ۰,۱ | ۰ | ۰ | ۰ | |
| CaO | ۵,۲ | ۵,۱ | ۵,۲ | ۴ | ۴,۶ | ۴,۷ | ۲,۷ | ۲,۸ | ۲,۸ | ۳ | ۳,۲ | |
| Na ₂ O | ۲,۷ | ۲,۴ | ۲,۶ | ۲,۵ | ۲,۵ | ۲,۴ | ۲,۷ | ۲,۸ | ۴ | ۴ | ۴ | |
| K ₂ O | ۲,۵ | ۲,۵ | ۲,۴ | ۲,۶ | ۲,۵ | ۲,۸ | ۴,۲ | ۳,۷ | ۳,۱ | ۳,۱ | ۲,۷ | |
| P ₂ O ₅ | ۰,۱ | ۰,۱ | ۰,۱ | ۰,۱ | ۰,۱ | ۰,۱ | ۰,۱ | ۰,۱ | ۰,۱ | ۰,۱ | ۰,۱ | |
| Total | ۱۰۰,۹ | ۱۰۰,۷ | ۱۰۰,۱ | ۱۰۰,۸ | ۱۰۰,۶ | ۱۰۰,۶ | ۱۰۰,۳ | ۱۰۰,۶ | ۱۰۰,۴ | ۱۰۰ | ۱۰۰,۸ | |
| V | ۶۸,۲ | ۹۷,۱ | ۹۶,۹ | ۱۰۰,۷ | ۷۸,۸ | ۱۰۶,۵ | ۵۱,۶ | ۳۸,۳ | ۳۴,۳ | ۳۴,۲ | ۳۴,۵ | |
| Cr | ۹,۰ | ۷۸,۳ | ۱۵۱,۳ | ۱۵۵,۳ | ۱۱,۴ | ۱۹۹,۷ | ۱۵۸,۴ | ۱۴۵,۵ | ۸۸,۹ | ۶۰,۶ | ۹۰,۱ | |
| Co | ۱۰,۵ | ۱۴ | ۱۵,۷ | ۲۹,۵ | ۲۶,۱ | ۱۸,۵ | ۹,۳ | ۶,۱ | ۹,۲ | ۷,۷ | ۹,۳ | |
| Ni | ۱۰,۵ | ۱۶,۲ | ۱۷,۱ | ۱۹,۴ | ۱۴,۱ | ۲۱,۳ | ۱۱,۳ | ۷,۸ | ۹,۲ | ۶,۶ | ۱۰,۵ | |
| Cu | ۶ | ۲۵,۹ | ۹,۱ | ۳۵,۱ | ۴,۹ | ۱۰,۵ | ۳ | ۲۷,۹ | ۵۱,۱,۵ | ۳۷۵,۵ | ۳۳۷,۵ | |
| Zn | ۳۵,۹ | ۴۷,۹ | ۸,۸ | ۸,۳ | ۵۰,۲ | ۶۲,۹ | ۳۹,۱ | ۱۹,۷ | ۲۰,۵ | ۲۶ | ۳۱,۵ | |
| Rb | ۷۴,۷ | ۸۶,۳ | ۹۵,۷ | ۸۹,۸ | ۸۲,۸ | ۱۰,۱ | ۱۳۷,۱ | ۱۱۷,۶ | ۹۵,۸ | ۱۰۵,۸ | ۱۱۶,۹ | |
| Sr | ۱۲۲,۴ | ۱۴۰,۹ | ۱۶۰,۵ | ۱۶۶,۶ | ۱۳۸,۶ | ۱۵۰,۸ | ۱۰,۷,۱ | ۹۵,۲ | ۲۱۰,۸ | ۲۰۳,۴ | ۲۱۴,۴ | |
| Y | ۱۱,۹ | ۱۶,۹ | ۱۷,۷ | ۲۴,۸ | ۱۶,۶ | ۲۴,۶ | ۱۸ | ۱۱,۱ | ۸,۵ | ۷,۲ | ۱۰,۱ | |
| Zr | ۷۵,۷ | ۷۳,۶ | ۷۷,۹ | ۱۲۰,۵ | ۱۰,۴,۵ | ۱۰,۴,۵ | ۵۵,۵ | ۵۶,۴ | ۱۱۹,۳ | ۱۱۸,۶ | ۱۳۵,۷ | |
| Nb | ۶,۸ | ۸,۵ | ۹,۸ | ۱۱,۲ | ۸,۹ | ۱۱,۷ | ۹,۹ | ۷,۶ | ۱۱,۶ | ۱۰,۶ | ۱۲,۵ | |
| Ba | ۲۰,۳,۹ | ۲۸,۶,۲ | ۲۹,۱,۵ | ۲۵,۶,۴ | ۲۵,۷ | ۲۸,۲,۷ | ۲۳,۳,۷ | ۱۹۹,۶ | ۲۹۲,۱ | ۲۷۴,۵ | ۳۰,۵,۶ | |
| La | ۱۲,۱ | ۱۵,۴ | ۲۰,۶ | ۲۶,۹ | ۱۴,۲ | ۳۴,۳ | ۲۶,۳ | ۲۲ | ۱۲,۱ | ۱۱,۸ | ۱۳,۳ | |
| Ce | ۲۶ | ۳۲,۶ | ۴۱,۵ | ۵۲,۷ | ۲۹,۳ | ۶۳,۶ | ۵,۰ | ۴۶,۶ | ۲۲ | ۲۰,۲ | ۲۲,۷ | |
| Nd | ۱۱,۶ | ۱۵,۶ | ۱۸,۷ | ۲۲,۸ | ۱۲,۹ | ۲۵,۷ | ۱۹,۶ | ۱۹,۴ | ۸,۱ | ۶,۹ | ۸,۱ | |
| Sm | ۲,۵ | ۳,۵ | ۳,۸ | ۴,۹ | ۲,۹ | ۵ | ۴ | ۳,۵ | ۱,۷ | ۱,۴ | ۱,۶ | |
| Eu | ۰,۵ | ۰,۸ | ۰,۹ | ۱ | ۰,۷ | ۱ | ۰,۷ | ۰,۵ | ۰,۶ | ۰,۵ | ۰,۷ | |
| Gd | ۲,۲ | ۳,۳ | ۳,۶ | ۴,۷ | ۳ | ۴,۸ | ۳,۷ | ۳ | ۱,۷ | ۱,۴ | ۱,۷ | |
| Tb | ۰,۴ | ۰,۶ | ۰,۶ | ۰,۹ | ۰,۶ | ۰,۹ | ۰,۸ | ۰,۵ | ۰,۳ | ۰,۳ | ۰,۳ | |
| Dy | ۲,۵ | ۳,۵ | ۳,۸ | ۴,۶ | ۳ | ۴,۷ | ۳,۶ | ۲,۵ | ۱,۷ | ۱,۵ | ۱,۸ | |
| Ho | ۰,۵ | ۰,۷ | ۰,۸ | ۱,۱ | ۰,۷ | ۱,۱ | ۰,۸ | ۰,۵ | ۰,۴ | ۰,۳ | ۰,۴ | |
| Er | ۱,۳ | ۲ | ۲ | ۲,۹ | ۱,۹ | ۲,۹ | ۲ | ۱,۲ | ۱ | ۰,۹ | ۱,۱ | |
| Tm | ۰,۲ | ۰,۳ | ۰,۳ | ۰,۵ | ۰,۳ | ۰,۵ | ۰,۳ | ۰,۲ | ۰,۲ | ۰,۱ | ۰,۲ | |
| Yb | ۱,۳ | ۱,۸ | ۱,۹ | ۲,۶ | ۱,۷ | ۲,۶ | ۱,۸ | ۱,۲ | ۰,۹ | ۰,۷ | ۰,۱ | |
| Lu | ۰,۲ | ۰,۳ | ۰,۳ | ۰,۴ | ۰,۳ | ۰,۵ | ۰,۳ | ۰,۲ | ۰,۲ | ۰,۱ | ۰,۲ | |
| Ta | ۳,۳ | ۱,۲ | ۲,۵ | ۱,۱ | ۰,۹ | ۱,۳ | ۱,۴ | ۲,۳ | ۱,۳ | ۰,۹ | ۱,۱ | |
| Pb | ۹,۴ | ۱۸,۵ | ۳۱,۶ | ۳۵,۶ | ۲۴,۷ | ۱۵,۴ | ۲۸,۸ | ۲۱,۴ | ۸,۸ | ۶ | ۶,۹ | |

| Th | ۵,۳ | ۹ | ۹,۳ | ۱۱,۷ | ۸ | ۱۷,۳ | ۱۵,۶ | ۱۸,۹ | ۸,۸ | ۸,۲ | ۱۱,۲ |
|--------|-----|-----|-----|------|-----|------|------|------|-----|-----|------|
| Eu/Eu* | ۰,۶ | ۰,۷ | ۰,۸ | ۰,۷ | ۰,۸ | ۰,۶ | ۰,۵ | ۰,۵ | ۱ | ۱,۲ | ۱,۲ |

جدول ۲ آنالیز عناصر اصلی و کمیاب سنگ های آذرین منطقه‌ی بروجرد.

| Sample | کوارتزدیبوریت | | | گراناتدیبوریت | | | | مونزوگرانیت | | | |
|----------|---------------|-------|-------|---------------|-------|-------|-------|-------------|--------|-------|-------|
| | GM25 | G12 | GM5 | G6 | G4 | B1A55 | AKY13 | AB6 | AG18 | G24 | GM10 |
| SiO[2] | ۵۷,۹ | ۵۶,۳ | ۶۷,۲ | ۶۴,۳ | ۶۳,۸ | ۶۰,۶ | ۵۸,۵ | ۷۱,۱ | ۷۰,۸ | ۷۰,۷ | ۷۰ |
| TiO[2] | ۰,۶ | ۰,۹ | ۰,۵ | ۰,۶ | ۰,۶ | ۰,۷ | ۰,۱ | ۰,۲ | ۰,۴ | ۰,۲ | ۰,۳ |
| Al2O3 | ۱۵,۳ | ۱۷,۱ | ۱۵,۵ | ۱۶,۷ | ۱۶,۹ | ۱۷,۵ | ۱۸ | ۱۴,۵ | ۱۳,۵ | ۱۴,۶ | ۱۴,۱ |
| Fe2O3 t | ۶,۹ | ۸ | ۲ | ۵,۵ | ۵,۶ | ۶,۵ | ۸ | ۲ | ۲,۸ | ۲,۲ | ۳,۵ |
| MnO | ۰,۱ | ۰,۲ | ۰ | ۰,۱ | ۰,۱ | ۰,۱ | ۰,۱ | ۰ | ۰,۱ | ۰,۱ | ۰,۱ |
| MgO | ۶,۵ | ۵,۱ | ۲,۹ | ۱,۶ | ۱,۶ | ۱,۸ | ۲,۴ | ۱,۲ | ۰,۶ | ۰,۴ | ۰,۷ |
| CaO | ۶,۱ | ۶,۹ | ۰,۷ | ۳,۹ | ۳,۸ | ۴,۱ | ۴,۱ | ۰,۹ | ۱ | ۱,۷ | ۲,۱ |
| Na2O | ۲,۴ | ۲,۵ | ۴,۲ | ۳,۱ | ۳ | ۲,۹ | ۲,۵ | ۴,۲ | ۳,۹ | ۳,۸ | ۲,۸ |
| K2O | ۲,۵ | ۲,۱ | ۱,۴ | ۳,۴ | ۳,۶ | ۳,۴ | ۲,۲ | ۲,۱ | ۴,۱ | ۴,۶ | ۴ |
| P2O5 | ۰,۱ | ۰,۲ | ۰,۲ | ۰,۲ | ۰,۱ | ۰,۳ | ۰,۴ | ۰,۱ | ۰,۱ | ۰ | ۰,۱ |
| Ni | ۱۱۵ | ۱۷۵ | ۱۸ | ۱۷ | ۱۶ | ۲۲ | ۳۲ | ۱۳ | ۱۹ | ۹ | ۱۲ |
| Cr | ۴۲۰ | ۳۶۰ | ۴۰ | ۱۲۰ | ۱۲۰ | ۱۵۰ | ۱۸۰ | ۱۵۰ | ۱۰ | ۸۰ | ۲۰ |
| Co | ۴۸ | ۲۷,۸ | ۴۱,۹ | ۱۲ | ۱۱,۱ | ۱۲,۸ | ۱۸,۶ | ۳,۳ | ۵۴,۷ | ۳,۷ | ۵۳,۴ |
| V | ۱۷۰ | ۲۰۴ | ۵۵ | ۸۸ | ۸۸ | ۹۷ | ۱۵۵ | ۲۳ | ۲۷ | ۱۱ | ۲۹ |
| Cs | ۱۰ | ۵,۴ | ۰,۹ | ۳,۸ | ۳,۵ | ۵,۸ | ۴,۱ | ۲,۳ | ۱,۱ | ۴,۵ | ۶,۲ |
| Rb | ۱۰,۶,۵ | ۸۸,۲ | ۲۹,۳ | ۱۳۰,۵ | ۱۳۳,۵ | ۱۳۴,۵ | ۱۲۹,۵ | ۶۳,۸ | ۱۲۳,۵ | ۱۵۷ | ۱۶۶,۵ |
| Sr | ۳۴۷ | ۳۴۷ | ۶۵,۹ | ۳۲۲ | ۳۱۹ | ۳۳۸ | ۲۹۴ | ۱۱۴ | ۱۶۸ | ۱۲۴,۵ | ۲۳۹ |
| Ba | ۴,۷ | ۳۳۵ | ۱۷۲,۵ | ۵۹۸ | ۵۹۶ | ۷۶۵ | ۷۶۳ | ۲۷۶ | ۶۳۱ | ۴۰,۸ | ۴۰,۴ |
| Th | ۱۱ | ۹ | ۲۲ | ۱۲ | ۱۰ | ۲ | ۱۵ | ۱۶ | ۳۲ | ۱۱ | ۲۰ |
| U | ۲,۱ | ۲,۴ | ۱,۶ | ۲,۴ | ۳,۳ | ۱,۴ | ۱,۹ | ۲,۵ | ۵,۳ | ۲,۴ | ۲,۷ |
| Ta | ۰,۹ | ۰,۹ | ۱,۲ | ۰,۹ | ۱ | ۰,۹ | ۰,۹ | ۱,۱ | ۲,۶ | ۰,۹ | ۱,۴ |
| Nb | ۱۰ | ۱۲ | ۱۶ | ۱۴ | ۱۳ | ۱۵ | ۱۹ | ۱۰ | ۲۸ | ۱۰ | ۱۱ |
| La | ۲۸,۸ | ۲۷,۲ | ۲۸,۶ | ۲۹,۴ | ۴۴,۲ | ۱۹,۵ | ۵۱ | ۳۲,۵ | ۵۹,۵ | ۲۰,۱ | ۳۹,۷ |
| Ce | ۵۵,۶ | ۵۷,۶ | ۵۲,۲ | ۵۹,۹ | ۹۲,۶ | ۴۰,۸ | ۱۰,۳ | ۶۴,۱ | ۱۰,۱,۵ | ۴۰,۵ | ۴۷,۴ |
| Pr | ۶,۷ | ۶,۷ | ۶ | ۶,۴ | ۹,۳ | ۴,۱ | ۱۱ | ۶,۵ | ۹,۷ | ۴,۲ | ۸,۳ |
| Nd | ۲۴ | ۲۵ | ۲۱,۲ | ۲۲,۴ | ۳۱ | ۱۵,۱ | ۳۹,۲ | ۲۲,۳ | ۲۹,۶ | ۱۵ | ۲۸,۷ |
| Sm | ۴,۸ | ۵ | ۲,۹ | ۴ | ۴,۸ | ۲,۳ | ۷ | ۴,۵ | ۵۲ | ۳,۳ | ۵۲ |
| Eu | ۱,۱ | ۰,۴ | ۰,۲ | ۱ | ۱,۱ | ۱,۳ | ۱,۳ | ۰,۷ | ۰,۱ | ۰,۴ | ۰,۵ |
| Gd | ۴,۶ | ۵,۱ | ۲,۷ | ۴,۱ | ۴,۳ | ۲,۲ | ۶,۸ | ۴,۲ | ۵,۳ | ۳,۶ | ۵,۱ |
| Tb | ۰,۷ | ۰,۷ | ۰,۵ | ۰,۵ | ۰,۶ | ۰,۲ | ۰,۹ | ۰,۶ | ۰,۷ | ۰,۶ | ۰,۷ |
| Dy | ۳,۸ | ۴,۳ | ۲,۷ | ۲,۹ | ۳,۴ | ۱,۱ | ۵,۳ | ۳,۷ | ۴ | ۳,۵ | ۳,۹ |
| Ho | ۰,۸ | ۰,۸ | ۰,۶ | ۰,۶ | ۰,۷ | ۰,۲ | ۱,۱ | ۰,۷ | ۰,۸ | ۰,۷ | ۰,۸ |
| Er | ۲,۳ | ۲,۶ | ۱,۶ | ۲,۱ | ۲,۱ | ۰,۷ | ۳,۶ | ۲,۲ | ۲,۵ | ۲,۱ | ۲,۲ |
| Tm | ۰,۳ | ۰,۴ | ۰,۲ | ۰,۳ | ۰,۳ | ۰,۱ | ۰,۵ | ۰,۳ | ۰,۴ | ۰,۳ | ۰,۳ |
| Yb | ۲,۳ | ۲,۵ | ۱,۵ | ۲ | ۲,۳ | ۰,۷ | ۲,۴ | ۲,۴ | ۲,۶ | ۲,۱ | ۲,۲ |
| Lu | ۰,۳ | ۰,۴ | ۰,۲ | ۰,۳ | ۰,۴ | ۰,۱ | ۰,۵ | ۰,۳ | ۰,۴ | ۰,۳ | ۰,۳ |
| Y | ۲۱,۶ | ۲۲,۴ | ۱۵,۲ | ۱۸,۸ | ۲۰,۲ | ۶,۷ | ۲۱,۶ | ۲۰,۲ | ۲۲,۸ | ۲۰,۳ | ۲۱ |
| Zr | ۱۶۴ | ۱۶۱,۵ | ۲۱,۰ | ۲۰,۳ | ۲۰,۳ | ۲۳۲ | ۲۷۴ | ۱۰,۶ | ۲۳۰ | ۱۲۸ | ۱۳۷ |
| Sn | ۶ | ۳ | ۲ | ۱ | ۱ | ۲ | ۱ | ۳ | ۴ | ۴ | ۲ |
| W | ۲۱۷ | ۸ | ۴۲,۰ | ۶ | ۹ | ۸ | ۱۰ | ۸ | ۴۱۶ | ۱۱ | ۴۲۹ |
| Eu/Eu* | ۰,۷ | ۰,۲ | ۰,۲ | ۰,۸ | ۰,۷ | ۱,۸ | ۰,۶ | ۰,۵ | ۰ | ۰,۴ | ۰,۳ |
| (La/Yb)N | ۸,۴ | ۷,۳ | ۱۲,۷ | ۹,۸ | ۱۲,۹ | ۱۸,۶ | ۱- | ۹,۱ | ۱۵,۳ | ۹,۴ | ۱۲,۱ |

تأثیر زون‌های برشی قرار گرفته‌اند، در آن‌ها دیده می‌شود که می‌تواند حاکی از یک دگرگونی دینامیکی در منطقه باشد. در بخش‌های حاشیه‌ای، این سنگ‌ها حاوی آندالوزیت هستند. فراوانی بلورهای آندالوزیت در نقاط مختلف متفاوت است و جهت‌گیری خاصی را نشان نمی‌دهند. بلورهای آندالوزیت در این سنگ‌ها در اثر واکنش با آبگون‌های ماگمای پتاسیم‌دار تا حد زیادی به مسکوویت یا سریسیت دگرسان شده‌اند که نشان دهنده‌ی دگرگونی پسرونده در سنگ‌هاست، و شناخت آن‌ها در زیر میکروسکوپ به آسانی امکان‌پذیر نیست. تفاوت سنگ‌ها در منطقه‌ی بروجرد نسبت به آستانه است از طرف گرانوودیوریت در دو منطقه‌ی مورد بررسی، حجم بیشتر این سنگ‌ها در منطقه‌ی بروجرد نسبت به آستانه است که در مورد SiO_2 دیگر طیف گسترده‌تری از گرانوودیوریت‌ها با میزان گسترده از منطقه‌ی بروجرد مشاهده می‌شود.

واحد مونزو-گرانیت

این سنگ‌ها به صورت توده‌های کوچک و مجزا و کم و بیش گرد در بخش جنوبی توده‌ی اصلی بروجرد بروند دارند (شکل ۱). در منطقه‌ی آستانه نیز واحد گرانوودیوریتی در بخش‌های جنوبی مونزو-گرانیتی شده است و با توجه به رنگ روشن‌تر در نمونه‌ی دستی، از این واحد قابل تشخیص است، ولی با این حال مرز مشخصی ندارند و قابل جدایش نیستند. مقدار بیویت در این سنگ‌ها کمتر است و جهت‌گیری ضعیفی از خود نشان می‌دهند. کانی‌های اصلی تشکیل‌دهنده‌ی آن شامل بیویت، پلازیوکلاز، کوارتز و فلدسپار قلیایی از نوع اورتوكلاز است.

شبه آتشفسان‌های ریوداسیتی

این سنگ‌ها به صورت یک زائدی مستقل و بسیار کوچک درون واحد گرانوودیوریت منطقه‌ی آستانه قرار دارند. سنگ‌های یاد شده ریز دانه و به رنگ روشن هستند. کانی‌های اصلی تشکیل‌دهنده‌ی این سنگ‌ها شامل پلازیوکلاز، کوارتز، فلدسپار قلیایی از نوع سانیدین و بیویت‌اند و از کانی‌های فرعی آن‌ها می‌توان به زیرکن و آپاتیت اشاره کرد که به صورت ادخال در کانی‌های دیگر دیده می‌شوند. یکی از ویژگی‌های مهم این سنگ‌ها عدم حضور آمفیبیول است. همچنین در منطقه‌ی بروجرد سنگ‌های با این ترکیب مشاهده نشده‌اند. برونبوم‌های واقع در این سنگ‌ها از نوع داسیت بوده و حاوی فنوکریست های خود شکلی از آمفیبیول پارگازیت و پلازیوکلاز با آنورتیت بالا (An₈₆₋₉₂) در یک زمینه‌ی ریز دانه از جنس پلازیوکلاز و بیویت‌اند که

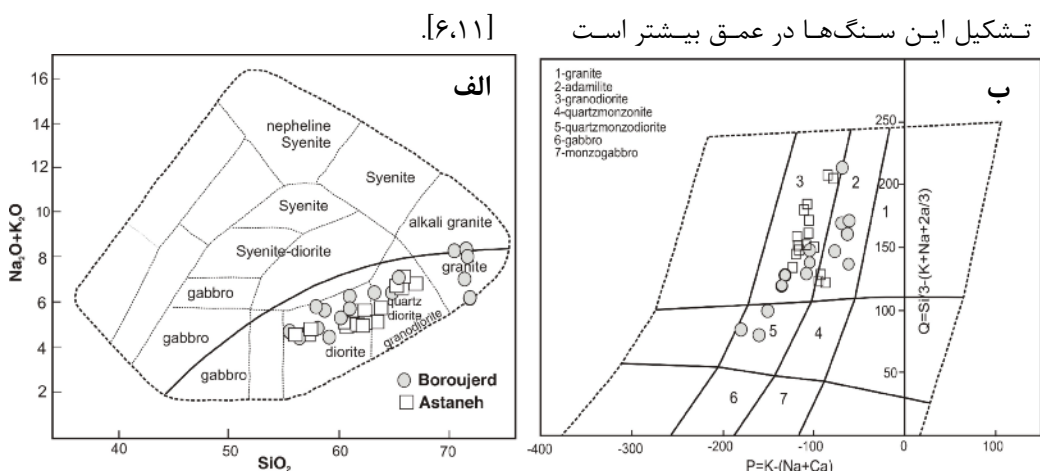
سنگنگاری و روابط صحرایی

واحد کوارتزدیوریت

این واحد درون واحد گرانوودیوریت بروند دارد و به صورت بلندی‌های خاکستری دیده می‌شوند و از نظر درجه‌ی رنگین مزوکرات است. ترکیب سنگ‌شناسی آن از کوارتزدیوریت تا تونالیت تغییر می‌کند (شکل ۲). کانی‌های اصلی این سنگ‌ها شامل پلازیوکلاز، بیویت، آمفیبیول از نوع کلسیک و به مقدار کمتر فلدسپار قلیایی و کوارتز است. آپاتیت و زیرکن مهمترین کانی‌های فرعی این سنگ‌ها هستند. نکته قابل توجه در مورد بیویت‌ها این است که در راستای رخ آن‌ها پرهنیت به صورت حبابی و عدسی تشکیل شده است. این پدیده در بیویت‌های موجود در واحد گرانوودیوریت نیز دیده می‌شود. که می‌تواند ممکن است این سنگ‌ها در درجه پایین روی گرانیت‌وئید ها پس از تبلور اولیه باشد. تفاوت کوارتزدیوریت‌های مناطق مورد بررسی در گستردگی و طیف گسترده‌تر سنگ‌های یادشده در بروجرد است. علاوه بر این، برونبوم‌های آستانه از نظر ترکیب تنوع بیشتری دارند. تمامی برونبوم‌های این مناطق از جنس مافیک ریز دانه‌اند و ترکیبی در گستره‌ی میکرو دیوریت تا میکروگابرو دارند [۱۰]. ولی برونبوم‌های با ترکیب اسیدی تر مانند گرانوودیوریت، تنها در منطقه‌ی بروجرد دیده شده‌اند. تفاوت کانی‌شناسی سنگ‌های یاد شده در دو منطقه‌ی بروجرد بررسی، حضور اورتوبیروکسن به صورت فنوکریست در برخی از نمونه‌های کوارتزدیوریتی آستانه است که در منطقه‌ی بروجرد این کانی مشاهده نشد.

واحد گرانوودیوریت

این واحد بخش مهم توده‌های نفوذی موجود در مناطق بروجرد و آستانه را تشکیل می‌دهد که به شدت هوازده و فرسوده بوده و ریخت‌شناختی کلی آن به صورت تپه‌های فرسوده کم ارتفاع است. با این حال سنگ‌هایی با این ترکیب که کمتر تجزیه شده‌اند و مقداری از بلندی‌ها را تشکیل داده‌اند نیز مشاهده می‌شود. ترکیب سنگ‌های این واحد از گرانوودیوریت تا تونالیت تغییر می‌کند. این سنگ‌ها در نمونه‌ی دستی غالباً به رنگ خاکستری دیده می‌شوند و ترکیب همگنی از کانی‌های کوارتز، پلازیوکلاز، بیویت و فلدسپار قلیایی، آمفیبیول از نوع کلسیک و ترمولیت - اکتینولیت را دارند. کانی‌های فرعی آن‌ها شامل آپاتیت، زیرکن و آلانیت‌اند و جهت‌گیری چشمگیری ناشی از جهت‌گیری کانی‌ها (به ویژه بیویت)، در مناطقی که تحت



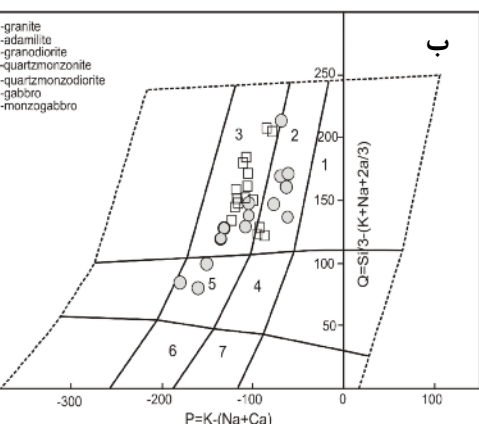
شکل ۲ (الف) نمودار SiO_2 نسبت به مجموع قلیایی [۱۲]، خط جدا کننده گستره‌ی قلیایی از آهکی-قلیایی به نقل از [۱۴] (ب) ردۀ بندی [۱۳].

گستره‌ی متألومین و برخی نمونه‌های گرانودیبوریتی و مونزوگرانیتی در گستره‌ی پرآلومین قرار می‌گیرند. همچنین نمونه‌های کوارتزدیبوریتی و اغلب نمونه‌های گرانودیبوریتی و مونزوگرانیتی در گستره‌ی گرانیت‌های نوع I [۱۸] قرار گرفته‌اند. تمایل برخی از نمونه‌های گرانودیبوریتی و مونزوگرانیتی به گستره‌ی پرآلومین می‌تواند به دلایل مختلفی باشد که با نوع گرانیت وابسته نباشد به عنوان مثال: جدایش گستره‌ی کانی‌های پلاژیوکلاز، هورنبلند و بیوتیت از یک ماگمای آهکی-قلیایی [۱۹] آلایش ماگمای سنگ مادر با سنگ در برگیرنده‌ی غنی از آلومین نظیر متاپلیت‌ها، سریسیتی دگرنهاد یا پروپلیتی و یا تغییرات میزان آب پروتولیت [۲۰] است. قرارگیری برخی از نمونه‌های گرانودیبوریتی و مونزوگرانیتی در گستره‌ی گرانیت‌های نوع S نیز می‌تواند بیانگر جدایش شدید ماگمای گرانیتی نوع I و یا ناشی از آلدگی در اثر واکنش ماگمای باد شده با سنگ‌های نیمه آبگون در برگیرنده باشد.

در نمودار [۲۱] (شکل ۳ ب) نمونه‌های مورد بررسی از نظر مقدار پتاسیم از هم جدا شده‌اند. چنانکه ملاحظه می‌شود، بیشتر سنگ‌های مورد بررسی در گستره‌ی پتاسیم متوسط تا بالا قرار می‌گیرند که ناسازگاری مقدار SiO_2 با P_2O_5 در برخی از نمونه‌ها می‌تواند به دلیل دگرنهادی بودن آن‌ها باشد.

رونده منفی P_2O_5 نسبت به افزایش SiO_2 در نمونه‌های مورد بررسی (شکل ۳ ت) با ویژگی‌های گرانیت‌های نوع I سازگار است. به اعتقاد [۲۲] فسفر در ماگماهای گرانیتی نوع I به دلیل تبلور بخشی آپاتیت به صورت یک عنصر سازگار رفتار می‌کند، در صورتی که در ماگماهای گرانیتی نوع S به دلیل

نشانگر تبلور و تشکیل این سنگ‌ها در عمق بیشتر است



نامگذاری و ردۀ بندی شیمیایی سنگ‌های آذرین مناطق مورد بررسی

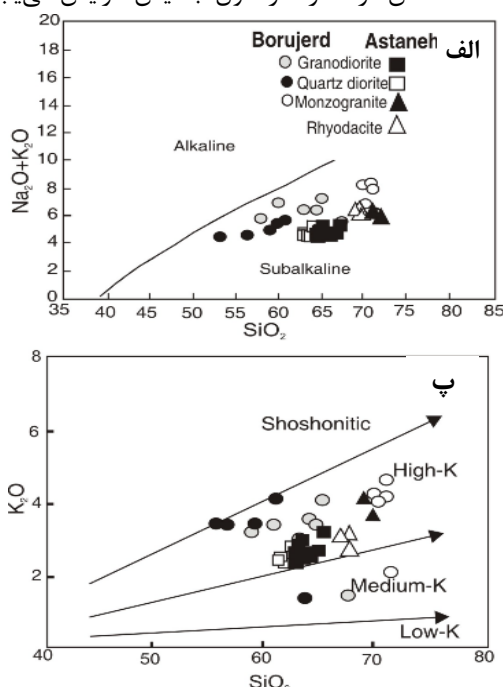
برای نامگذاری سنگ‌های مورد بررسی از نمودارهایی که توسط پژوهشگران مختلف ارائه شده است، استفاده شد. بر اساس نمودار سیلیس نسبت به مجموع عناصر قلیایی [۱۲]، شکل ۲ (الف)، سنگ‌های مناطق بروجرد و آستانه در گستره‌ی دیبوریت، کوارتزدیبوریت-گرانودیبوریت و گرانیت قرار می‌گیرند. علاوه بر مجموعه‌ی بالا سنگ‌های شبه‌آتشفسانی ریوداسیتی در منطقه‌ی آستانه نیز دیده می‌شوند. در ردۀ بندی دیگر، با استفاده از مقادیر کاتیونی عناصر، از پارامترهای P و Q استفاده می‌شود [۱۳]. چنانکه در شکل ۲ ب دیده می‌شود، سنگ‌های مورد بررسی در گستره‌ی آداملیت، گرانودیبوریت و برخی از سنگ‌های منطقه‌ی بروجرد در گستره‌ی کوارتزمونزودیبوریت قرار دارند.

ژئوشیمی و پتروژئنر

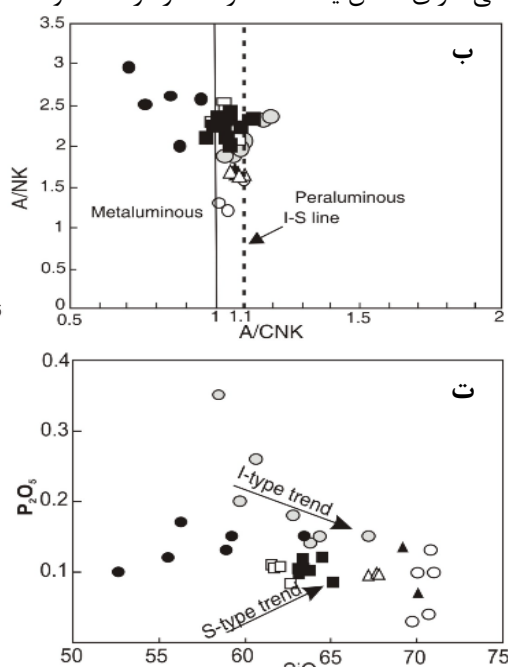
با توجه به اهمیت شناخت نوع ماگمای تشکیل دهنده‌ی سنگ‌های آذرین مناطق بروجرد و آستانه و مقایسه‌ی ویژگی‌های هر دو نوع ماگما، برای پی بردن به شباهت‌ها و تفاوت‌های مادر هر دو نوع منطقه از نمودارهای خاص جدایشی و تعیین نوع ماگما استفاده شد. به همین منظور نخست از نمودار [۱۴] نسبت به SiO_2 - Na_2O - K_2O استفاده کردیم (شکل ۳ الف). براین اساس نمونه‌های هر دو منطقه در گستره‌ی سری‌های شبه‌آتشفسانی واقع شده‌اند. برای تعیین خاستگاه ماگما و میزان دخالت پوسته‌ی قاره‌ای در تشکیل سنگ‌های دو منطقه، از نمودار A/CNK-A/NK نسبت به استفاده کردیم (شکل ۳ ب). [۱۵-۱۷] در این نمودار، نمونه‌های مورد بررسی در

استفاده از ویژگی‌های کارشناسی و ژئوشیمیایی، گر استوئیدهای ...

غلظت آن در گدازه در طول جداپیش افزایش می‌پاید.



عدم تبلور این کانی دارای نقش یک عنصر ناسازگار است و



شکل ۳ الف) نمودار جدایشی سری‌های قلیایی و شبه قلیایی، [۱۴]. ب) نمودار A/CNK نسبت به A/NK نسبت به برای تشخیص ماقماهای پرآلومین، متالومین و پرآلکان [۱۵-۱۷] پ) نمودار K₂O نسبت به SiO₂ [۲۱] ت) نمودار P₂O₅ نسبت به SiO₂ که نمونه‌های مورد بررسی از روند گرانیتوئیدهای نوع I پیشنهادی [۲۲] پیروی می‌کنند.

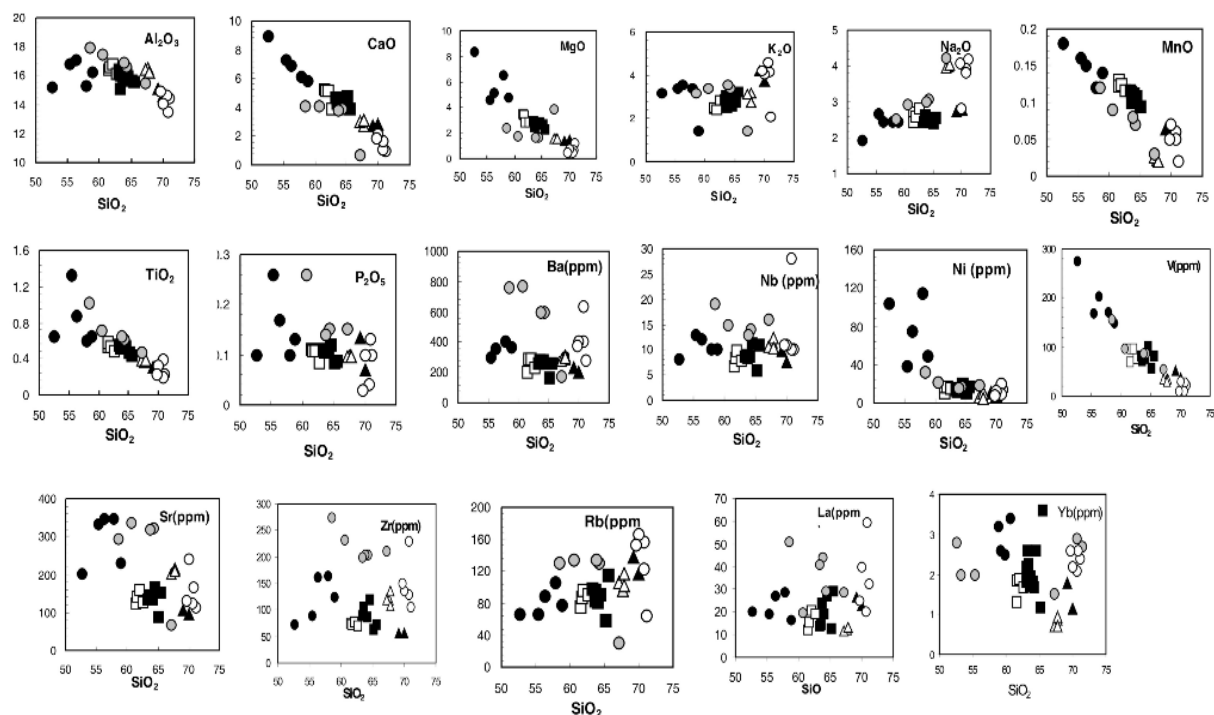
بيانگر رابطه‌ی خویشاوندی بین ماقمای مادر این دو منطقه است. روندهای منفی Ti-V نسبت به SiO_2 تبلور جدایشی اکسیدهای Fe-Ti را نشان می‌دهد. عناصر LILE و ناسازگار مثل $\text{Zr}, \text{Hf}, \text{La}, \text{Rb}, \text{Ba}$ می‌دهند. پراکنده و تقریباً مثبت نشان پلاژیوکلاز و آمفیبول در ماقمای مادر است. پراکنده‌ی عنصر ناسازگار ناشی از فرایند دیگری علاوه بر فرایند تبلور جدایشی، مانند درجات متفاوت ذوب، منابع متفاوت ذوب و یا آلایش پوسته‌ای است. برای بررسی اینکه علاوه بر تبلور جدایشی، کدام یک از عوامل بالا تأثیر بیشتری در شکل‌گیری ماقمای دو منطقه داشته و حل مسائل سنگ‌زایی منطقه در سنگ‌های نفوذی، از نمودارهای عنکبوتی استفاده شده است. سنگ‌های مناطق مورد بررسی نسبت به کندریت [۲۳] و سنگ‌های قوس ماقمایی سنندج – سیرجان [۲۴] عادی سازی شده‌اند (شکل ۵). در این نمودارها، واحدهای مختلف سنگی هر دو منطقه و ریوداسیت‌های منطقه‌ی آستانه بهطور جداگانه ترسیم شده‌اند. الگوی عناصر REE ویژگی‌های را مثل غنی شدگی از عناصر Nb و U , تهی شدگی، از عناصر HFSE LILE, Rb , Ba

برای بررسی نقش فرایند جدایش از تغییرات عناصر اصلی SiO_2 (نمودارهای هارکر) استفاده شد (شکل ۴). چنانکه ملاحظه می‌شود با افزایش SiO_2 درصد وزنی Fe_2O_3 کاهش می‌یابد. P_2O_5 و MgO ، MnO ، TiO_2 ، CaO ، Al_2O_3 کاهش می‌تواند به علت Fe_2O_3 ، MgO ، MnO ، TiO_2 ، CaO ، Al_2O_3 جایگزین این اکسید‌ها در ساختار کانی‌های آهن و منیزیم دار (آمفیبول و بیوتیت) در مراحل اولیه‌ی تبلور جدایشی مانگما باشد. کاهش P_2O_5 و Al_2O_3 نیز به ترتیب به دلیل شرکت این عناصر در ساختار پلاژیوکلازها و تغییر ترکیب پلاژیوکلازها از آنورتیت کمتر به سمت آلبیت بیشتر و کاهش مقدار آپاتیت در مراحل نهایی تبلور است. از طرف دیگر تغییرات P_2O_5 تابع تغییرات CaO است، زیرا عنصر فسفر در مانگما رابطه‌ی نزدیکی با عنصر کلسیم دارد [۲۲]. تغییرات Na_2O نسبت به SiO_2 نسبتاً ثابت و در برخی نمونه‌ها افزایشی و K_2O نسبت به SiO_2 روندی افزایشی نشان می‌دهند، زیرا با پیشرفت جدایش، مقدار آن‌ها در گدازه‌ی باقیمانده افزایش می‌یابد و در نهایت وارد ساختار ارتوکلاز می‌شود.

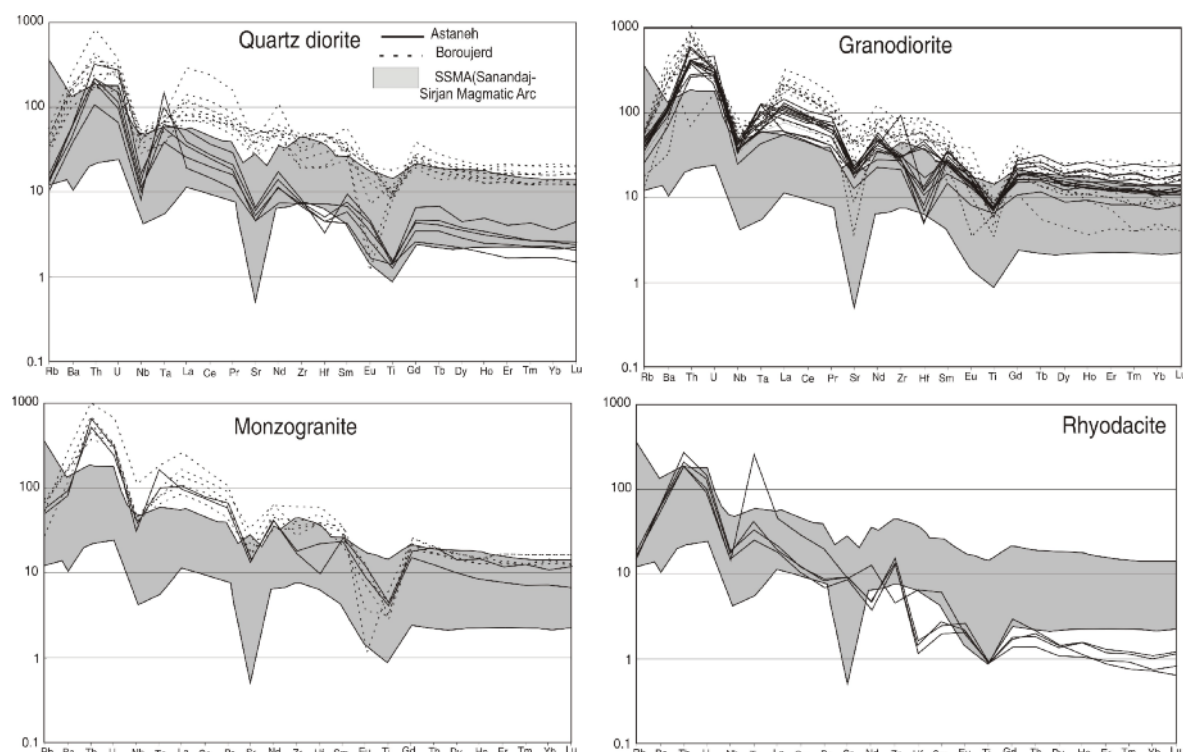
قرارگیری نمونه‌های آستانه بین ترکیب‌های بروجرد و وجود پیوستگی و سازگاری روندهای همه‌ی عناصر در دو منطقه،

ماگمای آهکی- قلیایی است.

و (Ti) و مسطح بودن شیب HREE، نشان می دهد که مختص



شکل ۴ موقعیت نمونه های مورد بررسی بر روی نمودار تغییرات عناصر اصلی نسبت به SiO_2 . علائم مشابه شکل ۳ هستند.



شکل ۵ الگوهای REEs عادی شده به کندریت [۲۳]. منطقه‌ی خاکستری گرانیت‌های ماغمایی سنندج-سیرجان هستند [۲۴]. گرانیت‌های دو منطقه در گستره‌ی سنندج-سیرجان واقع شده‌اند و از الگوی ژئوشیمیایی ماغمای آهکی-قلیایی پیروی می‌کنند. ناهنجاری نسبتاً مثبت Sr , Eu و الگوی HREE بیانگر عمیق تر بودن خاستگاه ریوداسیت‌های آستانه است.

آستانه و بروجرد در گستره‌ی بین گوشه و شبه پهنه‌های پوسته‌ای و یا دخالت هر دو خاستگاه قرار می‌گیرند ولی تفاوت این دو منطقه در بالاتر بودن نسبت Sm/La برخی از کوارتزدیبوریت‌های بروجرد است که نزدیک به گستره‌ی M(گوشه) قرار می‌گیرند. بر اساس [۲۲]، برای غنی‌شدگی HFSE (Ti, LILE) ماغما از عناصر Nb و غنی‌شدگی ماغما از سیلیس در ماغمای آهکی-قلیایی دخالت حداقل ۵۰٪ رسوپ (شبه پهنه‌ای و یا متاگریوک) ضمن ذوب لازم است که با توجه به نظریه‌ی [۲۹] رسوپ‌های همزمان با فرورانش ذوب می‌شوند. بنابراین به نظر می‌رسد آلایش پوسته‌ای به معنای دخالت شبه پهنه‌ای-متاگریوک پس از تشکیل ماغما، فرایند محلی و موضعی باشد. علاوه بر موارد بالا برای پی‌بردن به رابطه‌ی خویشاوندی ماغمای مادر دو منطقه از نموار Ni نسبت به $\text{Mg}^{\#}$ و نمودار Th/Co نسبت به La/Th استفاده شده است (شکل پ و ت). نمونه‌های کوارتزدیبوریتی بروجرد میزان نیکل و عدد منیزیم بالاتر دارند که نشان دهنده اولین ماغمای مافیک در منطقه است و پیوستگی داده‌های هر دو منطقه حاکی از هم خاستگاه بودن ماغمای آن‌هاست.

در نمودار Th/Co نسبت به La/Th آستانه بروجرد و آستانه علاوه بر روند جدایشی ماغمای مادر، ریشه گرفتن ماغمای مادر از یک خاستگاه پوسته‌ای را نیز نشان می‌دهند. با افزایش SiO_2 مقدار Yb کم می‌شود که می‌تواند نشانه‌ی ریشه‌گیری ماغمای سازنده‌ی سنگ‌های منطقه از ذوب بخشی آمفیبولیت باشد [۳۰].

بالاتر بودن برخی عناصر نسبت به میانگین متوسط پوسته‌ی قاره‌ای ($\text{Nb} > \text{Ba} > \text{Th} > \text{SiO}_2$) نیز ناشی از آلایش ماغما با مواد پوسته فوکائی است [۳۱, ۳۲].

با توجه به فقدان سنگ‌های با ترکیب بازالتی در هر دو منطقه ($\text{SiO}_2 > 52\%$) و حجمی بودن سنگ‌های آذرین فلزیک در دو منطقه ریشه گرفتن ماغمای گرانیتی مناطق مورد بررسی از جدایش یک ماغمای مافیک گوشه‌های با ترکیب

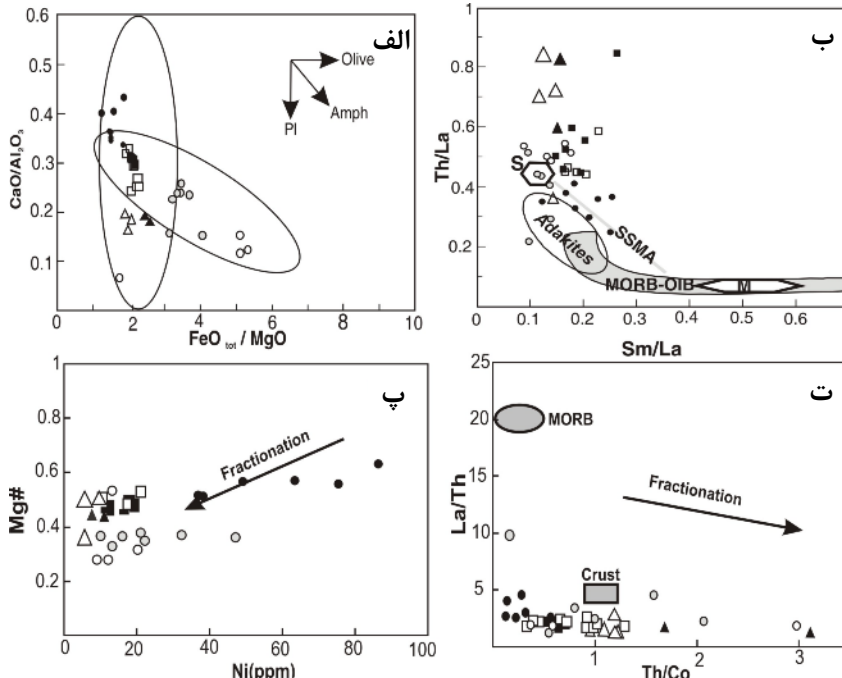
بی‌نهنجاری‌های منفی Eu و Sr با جدایش پلازیوکلاز قابل توجیه است. در نمونه‌های شبه آتشفسانی منطقه‌ی آستانه وجود بی‌نهنجاری مثبت Sr نشانه‌ی خاستگاه گرفتن ماغمای تشکیل دهنده‌ی این سنگ‌ها از منابع گوشه‌ای است. چون ماغمای‌هایی که از ذوب پوسته‌ی قاره‌ای ریشه می‌گیرند. دارای بی‌نهنجاری منفی Sr هستند [۲۵]. جدایش پلازیوکلاز باعث بی‌نهنجاری پایین Sr , Ba در الگوی عناصر REE و جدایش هورنبلند منجر به افزایش LREE/HREE در گدازه می‌شود.

نسبت La/Yb بین ۵-۸، نشان دهنده‌ی تأثیر تبلور جدایشی در ماغمای‌های آهکی-قلیایی است، ولی در مناطق بروجرد و آستانه این نسبت در بیشتر نمونه‌ها بیش از ۸ است که نشان دهنده‌ی عملکرد عوامل دیگری غیر از تبلور جدایشی می‌باشد.

برای بررسی و تعیین عمق تشکیل ماغمای هر دو منطقه و تأثیر گوشه در تشکیل ماغما از نمودار $\text{CaO}/\text{Al}_2\text{O}_3$ نسبت به $\text{FeO}^{\text{tot}}/\text{MgO}$ (شکل ۶ الف) استفاده شده است. پراکندگی اغلب نمونه‌ها در طول روند عمودی به احتمال زیاد ناشی از جدایش پلازیوکلاز است. قرار گیری برخی از نمونه‌های کوارتزدیبوریتی بروجرد که روند موازی با آمفیبول دارند بیانگر ریشه گرفتن ماغمای مادرسنگ‌های آذرین بروجرد در گستره‌ی پایداری آمفیبول (عمق بیشترپوسته) نسبت به ماغمای سازنده‌ی سنگ‌های آذرین آستانه است که از گستره‌ی پایداری پلازیوکلاز (عمق کمتر پوسته) ریشه گرفته است.

تغییرات در غنی‌شدگی LILE ها به ویژه U و Th در دو منطقه ناشی از تغییر در ترکیب خاستگاه و یا مقدار ذوب بخشی است. با توجه به اینکه در زون‌های فرورانش ۱۵-۲۰٪ ذوب بخشی صورت می‌گیرد [۲۷, ۲۶]، لذا نظریه‌ی متفاوت بودن میزان ذوب بخشی با تردید جدی مواجه می‌شود. برای Th/La بی‌بردن به نظریه‌ی خاستگاه متفاوت ذوب از نمودار Sm/La (شکل ۶ ب) استفاده شده است [۲۸]. بر اساس این نمودار خاستگاه ماغمای مادر سنگ‌های مناطق

تشکیل سنگ‌های آذرین فلزیک مناطق مورد بررسی بیشتر می‌تواند حاصل تبلور گذارهای حاصل از پوسته‌ی زیرین باشد [۲۲، ۳۳، ۳۴].



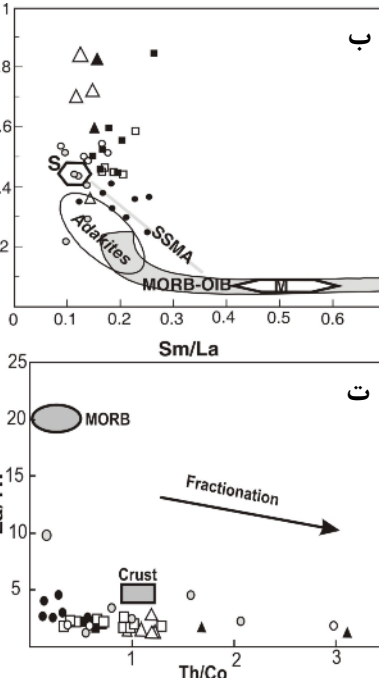
شکل ۶ (الف) $\text{CaO}/\text{Al}_2\text{O}_3$ نسبت به $\text{FeO}^{\text{tot}}/\text{MgO}$ بیانگر جدایش آمفیبول و پلازیوکلаз ماقمای مادر هر دو منطقه است. (ب) نمودار Th/La نسبت به Sm/La [۲۸] بیانگر ریشه گرفتن ماقمای مادر هر دو منطقه از پوسته‌ی تحتانی و پیروی از سنگ‌های قوس ماقمای سنندج-سیرجان (SSMA) [۲۴] است. (پ) La/Th نسبت به $\text{Ni}^{\#}$ (پ) نسبت به $\text{Mg}^{\#}$ (SSMA) است. (ت) نمودار La/Th نسبت به Th/Co . در ژنز ماقمای آن‌ها را نشان می‌دهند، علاوه مشابه شکل ۳ هستند.

آیند. بدین ترتیب در مناطق مورد بررسی با توجه به بررسی‌های کانی‌شناسی، سنگ‌شناسی، ژئوشیمیائی و ویژگی‌های زمین‌شناسی، چنین بنظر می‌رسد که توده‌های گرانیتوئیدی بروجرد و آستانه در اثر تبلور ماقمای حاصل از ذوب بخشی پروتولیت‌های پوسته‌ی زیرین (آمفیبولیت + متاپلیت-متاگریوک) بوجود آمده است و تبلور جدایشی گذارهای در سطوح بالاتر پوسته، طیف انواع سنگ‌های توده‌های گرانیتوئیدی را سبب شده است، آلایش پوسته‌ی فوقانی نقش مهمی در تشکیل این توده‌ها داشته است و ماقماهای بازالتی حاصل از گوشه‌ی که در پوسته‌ی زیرین جایگزین شده‌اند محتمل‌ترین خاستگاه گرمایی برای ذوب بخشی بوده‌اند.

برداشت

شواهد صحرایی، کانی‌شناسی، داده‌های ژئوشیمیائی و ایزوتوپی نشان می‌دهد که سنگ‌های گرانیتوئیدی هر دو منطقه بروجرد

غالب بازالتی، نامحتمل به نظر می‌رسد و با توجه به غنی‌شدنگی عناصر ناسازگار (K, Rb, Ce, La, Th) و بیهنجاری منفی (Nd, Sr, Eu, Ti, Nb) در این دو منطقه، (شکل ۵)



بیهنجاری منفی Eu در گرانیت‌های منطقه‌ی بروجرد و آستانه به دو صورت قابل توجیه است: بیهنجاری ناشی از نبود پلازیوکلاز در خاستگاه است و یا پلازیوکلاز در خاستگاه وجود داشته، ولی شرایط تشکیل ماقما به گونه‌ای بوده است که پلازیوکلاز در فاز رستیت باقی مانده است. با توجه به همبستگی مثبت میان Eu/Eu^* نسبت به Sr, پلازیوکلاز در خاستگاه وجود داشت، ولی به دلیل این که پلازیوکلاز در طول فرایندهای ذوب بخشی در پوسته‌ی تحتانی نسبتا مقاوم است در فاز رستیت باقی مانده است [۳۵] (شکل ۴)، بنابراین وجود آن در رستیت باعث بیهنجاری منفی Eu و Sr در ماقمای گرانیتی می‌شود [۳۶].

بنابر عقیده‌ی [۳۷] بر اساس نتایج تجربی حاصل از ذوب بخشی سنگ‌های پوسته‌ای که ماقماهای گرانیتوئیدی آهکی-قلیایی پتانسیم بالا نوع I می‌توانند از ذوب بخشی سنگ‌های مافیک دگرگون تا حد واسط آبدار در پوسته‌ی زیرین بوجود

- (Zagros, Iran)”, These De 3e cycle, Grenoble, (1974) 282p.
- [۲] رادفر ج., ”بررسی‌های زمین‌شناسی و پترولوری سنگ‌های گرانیت‌وئیدی ناحیه آستانه – گوشه”， پایان‌نامه کارشناسی ارشد، پردیس علوم، دانشکده زمین‌شناسی، دانشگاه تهران. (۱۳۶۶).
- [۳] Masoudi F., "Contact metamorphism and pegmatite development in the region SW of Arak, Iran", PhD Thesis, Leeds University, (1997) UK.
- [۴] احمدی خلجمی ا., ”بررسی پترولوری و پتروفابریک توده‌های نفوذی و دگرگونی مجاورتی منطقه بروجرد”， پایان‌نامه کارشناسی ارشد، پردیس علوم، دانشکده زمین‌شناسی، دانشگاه تهران. (۱۳۷۸). ۱۴۵
- [۵] احمدی خلجمی ا., ”پترولوری توده‌ی گرانیت‌وئیدی بروجرد”， رساله دکترا، پردیس علوم، دانشکده زمین‌شناسی، دانشگاه تهران، ۱۸۷، (۱۳۸۵).
- [۶] طهماسبی ز، ”پترولوری و ژئوشیمی توده گرانیت‌وئیدی آستانه”， رساله دکتری، دانشکده علوم، دانشگاه اصفهان، ص ۱۷۵. (۱۳۸۸).
- [۷] Masoudi F., Yardley B.W.D., Cliff R.A., "Rb-Sr geochronology of pegmatites, plutonic rocks and a hornfels in the region southwest of Arak, Iran", Islamic Republic of Iran. Journal of Science 13 (2002) 249-254.
- [۸] Ahmadi-Khalaji A., Esmaeily D., Valizadeh M.V., Rahimpour-Bonab H., "Petrology and Geochemistry of the Granitoid Complex of Boroujerd, Sanandaj-Sirjan Zone, Western Iran", Journal of Asian. Earth Science 29 (2007) 859-877.
- [۹] قادری م، رمضانی ج، ولی‌زاده م.و، فردین‌دوست ز، احمدی خلجمی ا، ”تعیین سن اورانیم - سرب کمپاکس نفوذی - ژوراسیک بروجرد و توده‌های وابسته در زون سنندج - سیرجان”， مجموعه مقالات بیست و سومین گردهمایی علوم زمین، سازمان زمین‌شناسی و اکتشافات معدنی کشور. (۱۳۸۳).
- [۱۰] Tahmasbi Z., Khalili M., Castro A., Ahmadi Khalaji A., "Petrography and Geochemistry characteristic of enclaves in Astaneh pluton (Sanandaj-Sirjan zone, Western Iran)", Journal of Applied Sciences 8(23) (2008) 4251-4262.
- [۱۱] طهماسبی ز، خلیلی م، احمدی ا، مکی زاده م.ع، ”مقایسه انواع آمفیبیول و ژئوتربوروامورتیری توده نفوذی آستانه (زون سنندج سیرجان)”， مجله بلورشناسی و کانی‌شناسی ایران، شماره ۲، (۱۳۸۸) ص ۲۷۹-۲۹۰.

و آستانه متشکل از کوارتزدیوریت، گرانودیوریت و مونزو گرانیت است. ترکیب‌های کانی‌شناسی هر واحد در دو منطقه تقریباً مشابه و ترکیب شیمیایی سنگ‌ها از نوع نیمه‌قلایی و کلسیمی - قلایی است. از نظر غنی‌شدگی از پتاسیم معمولاً همه نمونه‌ها در گستره‌ی پتاسیم متوسط تا بالا هستند. وجود نزدیکی مکانی و زمانی، مشابه بودن ویژگی‌های کانی‌شناسی، عدم ناپیوستگی در نمودارهای هارکر، قرارگیری گستره‌ی گرانیت‌وئیدهای آستانه بین گستره‌ی بروجرد و شباهت نمودارهای عنکبوتی سازگار با ماقماً مناطق فروراش دلایلی هستند که حاکی از هم ریشه بودن وجود رابطه‌ی ژنتیکی بین این دو مجموعه است. الگوی عناصر نادرخاکی و کمیاب هر واحد در دو منطقه تقریباً مشابه و سازگار با ماقماً آهکی - قلایی است و تفاوت‌های جزئی در میزان غنی‌شدگی و تهی - شدگی برخی از عناصر، ناشی از عمق متفاوت خاستگاه ماقماً آنها و آلایش با مواد پوسته‌ای است. با این حال، سنگ‌های شبه آتششانی با ترکیب ریوداسیتی فقط در منطقه‌ی آستانه دیده می‌شود و در منطقه‌ی بروجرد این نوع سنگ‌ها دیده نمی‌شوند. به دلیل ندانستن سن این سنگ‌ها اظهار نظر در مورد آن‌ها صرفاً با توجه به شواهد کانی‌شناسی و ژئوشیمیایی است. ترکیب شیمیایی این سنگ‌ها شبیه به گرانودیوریت‌های هر دو منطقه است و تفاوت در بافت و ویژگی‌های ژئوشیمیایی باعث این جدایش شده است. شواهدی چون بی‌هنجری مثبت Eu و Sr در سنگ‌های ریوداسیتی و نیز الگوی تقریباً متفاوت HREE نسبت به سنگ‌های نفوذی هر دو منطقه حاکی از عمیق‌تر بودن ماقماً مادر ریشه این سنگ‌ها نسبت به سنگ - های نفوذی است. دلایل کانی‌شناسی مانند وجود آمفیبیول پارگازیت در برونبوم‌های داسیتی این سنگ‌ها و پلازیوکلاز با آنورتیت بالا به صورت فنوکریست از جمله شواهد دیگری است که عمیق‌تر بودن خاستگاه ماقماً تشکیل دهنده‌ی سنگ‌های ریوداسیتی را تأیید می‌کند [۱۱].

قدرتانی

نویسنده‌گان مقاله از کلیه اساتید راهنمای و مشاور خود در دانشگاه‌های تهران و اصفهان تشکر و قدردانی می‌کنند.

مراجع

- [۱] Berthier F., Billiaul H.P., Halbroronn B., Marizot P., "Etude Stratigraphique, petrologique et structural de La region de Khorramabad

- Anhui Province (eastern China): Implications for geodynamics and Cu-Au mineralization", Lithos 89 (3-4) (2006) 424-446.*
- [26] Pearce J.A., Parkinson I.J., "Trace element models for mantle melting: application to volcanic arc petrogenesis. In: Prichard, H.M., Alabaster, T., Harris, N.B.W., Neary, C.R. (Eds.), *Magmatic Processes in Plate Tectonics*". Geological Society of London (1993) 373–404.
- [27] Hirose K., "Melting experiments on lherzolite KLB-1 under hydrous conditions and generation of high-magnesian andesitic melts", *Geology* 25 (1997) 42–44
- [28] Plank T., "Constraints from Thorium/Lanthanum on sediment recycling at subduction zones and the evolution of the continents.", *Journal of Petrology* 46 (2005) 921–944.
- [29] Castro A., Gerya T. V., "Magmatic implications of mantle wedge plumes: Experimental study", *Lithos* 103 (2007) (1-2) 138-148.
- [30] Dokuz A., Tanyolu E., Genc S., "A mantle and a lower crust derived bimodal suite in the Yusufeli (Artvin) area, NE Turkey: trace element and REE evidence for subduction-related rift origin of Early Jurassic Demirkent intrusive complex", *International Journal of Earth. Science* 25 (2005) 112-134.
- [31] Rudnick R. L., Fountain D. M., "Nature and composition of the continental crust: a lower crustal perspective", *Rev. Geophysics* 33 (1995) 267-309.
- [32] DePaolo D. J., "Trace element and isotopic effects of combined wall rock assimilation and fractional crystallization.", *Earth Planetary Science Letters* 53 (1981) 189-202.
- [33] Harris N.B.W., Pearce J.A., Tindle A.G., "Geochemical characteristics of collision-zone magmatism. In: Coward, M.P., Ries, A.C. (Eds.), *Collision Tectonics*", Geological Society of London Special Publication 19 (1986) 67–81.
- [34] Searele M.P., Fryer B.J., "Garnet-tourmaline-and muscovite-bearing leucogranites, gneisses and migmatites of the higher Himalayas from Zanska, Kulu, Lahoul and Kashmir. In: Coward, M.P., Ries, A.C. (Eds.), *Collision Tectonics*", Geological Society of London Special Publication 19 (1986) 185–202.
- [35] Carprarelli G, Leitch E. C., "Magmatic changes during the stabilization of a cordilleran fold belt: the late Carboniferous –Triassic igneous history of eastern New South Wales, Australia", *Lithos* 45 (1998) 413-430.
- [12] Cox K. G., Bell J.D., Pankhurst R.J., "The interpretation of igneous rocks", George Allen and Unwin. (1979) 450p.
- [13] Debon F., Lefort P., "A chemical – mineralogical classification of common plutonic rocks and associations", Transcend Royal of Society. Edinburgh (1983) 135 –149.
- [14] Irvine T.N., Baragar W.R.A., "A guide to the chemical classification of the common volcanic rocks", *Canadian Journal of Earth Science* 8 (1971) 523-484.
- [15] Shand S.J., "Eruptive Rocks", D. Van Nostrand Company, New York (1927) 360pp.
- [16] Maniar P.D., Piccoli P.M., "Tectonic discrimination of granitoids. *Geological Society American Bulletin*", 101 (1989) 635–643.
- [17] Pitcher W.S., "The nature and origin of granite". Chapman and Hall, Pub (1993) 321pp.
- [18] Chappell B.W., White A.J.R., "Two contrasting granite types", *Pacific Geology* 8 (1974) 173-174.
- [19] Zen E.an., "Aluminum enrichment in silicate melts by fractional crystallization: some mineralogical and petrographic constraints", *Journal of Petrology* 27 (1986) 1095–1118.
- [20] Waught T.E., Weaver S.D., Muir R. J., "The Hohonu Batholith of North Westland, New Zealand: granitoids compositions controlled by source H_2O contents and generated during tectonic transition", *Canadian Mineralogy and Petrology* 130 (1998) 225-239.
- [21] Rickwood P.C., "Boundary lines within petrologic diagrams which use of major and minor elements", *Lithos* 22 (1989) 247–263.
- [22] Chappell B.W., White A.J.R., "I and S-type granites in the Lachlan Fold Belt", Transcend Royal of Society Edinburgh Earth Science 83 (1992) 1–26.
- [23] Sun S.S., McDonough W. F., "Chemical and isotopic systematics of ocean basalt: implication for mantle composition and processes. In: Saundersand, A. D., Norry, M. J. Magmarisems in the Ocean basins". Geological Society of London, Special Publication42 (1989) 313–345.
- [24] Omrani J., Agard P., Whitechurch H., Benoite M., Prouteav G., Jolivet L., "Arc-magmatism and subduction history beneath the Zagros Mountains, Iran: A new report of adakites and geodynamic consequences", *Lithos* 106(3-4) (2009) 380-398.
- [25] Wang Q., Wyman D. A., Xu J. F., Zhao Z. H., Jian P., Xiong X. L., Bao Z. W., Li C. F., Bai Z. H., "Petrogenesis of Cretaceous adakitic and shoshonitic igneous rocks in the Luzong area,

[36] Schleicher H., "Collision –type granitic melts in the context of thrust tectonics and uplift history (*Triberg granite complex*", Schwarzwald, Germany). N. Jahrb. Mineral. Abh. 162(2) (1994) 211-232.

[37] Roberts M.P., Clemens J.D., "Origin of high-potassium, calc-alkaline, I-type granitites", Geology 21 (1993) 825–828.